

Two cases of fundic gland type adenocarcinoma of stomach with dMMR (defect of mismatch repair)

Brief Report

Two cases of fundic gland type adenocarcinoma of stomach with dMMR (defect of mismatch repair)

Nagaoka Central General Hospital, Department of pathology,

Certified molecular pathologist, Toshihiko Ikarashi

Key words: defect of mismatch repair (dMMR), MMR immunostain, homologous recombination defect repair defect (HRD), Immune checkpoint inhibitor (ICI), microsatellite instability (MSI), raspberry-like fundic gland adenocarcinoma of stomach, tumor mutation burden (TMB)

The histological diagnosis of fundic gland-type gastric cancer relies on identifying the distribution of fundic glands through mucin immunostaining and assessing their atypia. The challenge in histological diagnosis of fundic gland adenocarcinoma lies in the absence of definitive criteria for malignancy when atypia is mild. Immunohistochemical markers Ki67 and p53 are applied to assess atypia and

Two cases of fundic gland type adenocarcinoma of stomach with dMMR (defect of mismatch repair)

proliferative potential. However, many cases showed negative results for both Ki67 and p53, complicating definitive cancer diagnosis. New pathological diagnostic method is required.

In MSI-H/dMMR gastric cancer, germline mutations are rare; most cases exhibit methylation-inactive status, are more common in the elderly, and are associated with reduced anticancer drug dose. Recently, we established a workflow for MMR immunohistochemistry using MMR-deficient control cases based on results from the Niigata University Affiliated Hospitals CGP Expert Panel. In this study we applied this MMR immunohistochemistry for definitive histological diagnosis of fundic gland adenocarcinoma. Two cases were a 63-year-old and a 64-year-old diagnosed with fundic gland adenocarcinoma by HE staining. Endoscopically, they presented as raspberry-like, elevated, and smooth masses, typical of fundic gland adenocarcinoma. In mucinous immunohistochemical study, they consisted of mixed glands of both foveolar glands and gastric fundic glands. However, the proliferation markers for the confirmation of malignancy by both Ki67 and p53 were negative, making malignant diagnosis difficult. Additional MMR immunostaining revealed marked reduction of PMS6, somatic pattern (Fig. 1, 2). While endoscopic diagnosis had been considered more significant than

Two cases of fundic gland type adenocarcinoma of stomach with dMMR (defect of mismatch repair)

histopathological diagnosis for fundic gland adenocarcinoma (well-differentiated adenocarcinoma), leading to compromising histopathological diagnoses, this case provided diagnostic rationale as a certified molecular pathologist. We aim to accumulate more cases and pursue greater molecular pathological validity in diagnosing fundic gland adenocarcinoma.

和文抄録

免疫染色でミスマッチ修復欠損を認めた胃底腺型胃腺癌の2症例

長岡中央総合病院、病理部、認定分子病理専門医

五十嵐俊彦

キーワード： 腫瘍遺伝子変異量 (TMB), 相同組換修復欠損 (HRD), マイクロサテライト不安定性 (MSI), ミスマッチ修復欠損 (dMMR), MMR 免疫染色、免疫チェックポイント阻害薬 (ICI), ラズベリー様胃底腺型胃腺癌

Two cases of fundic gland type adenocarcinoma of stomach with dMMR (defect of mismatch repair)

胃底腺型胃癌の組織診断は、腺窩・胃底型腺の免疫染色による分布同定と異型性を診断根拠とされる。胃底腺型腺癌の組織診断上の問題は、浸潤・脈管侵襲を欠きその異型性が弱い場合の悪性の判定基準が無いことである。免疫染色により異型性・増殖性の判定基準には、Ki67 と p53 が応用されている。が、Ki67 と p53 いずれも陰性の症例が多く、癌の確定診断が困難で、新しい診断手技が求められている。

通常の胃癌における MSI-H/dMMR 症例は、生殖細胞系列異常は少なく、ほとんどがメチル化不活であり、高齢者に多く、投与抗がん剤の減量が見込まれる。この度、新潟大学関連病院 CGP エキスパートパネル検査結果で MMR 欠損症例を使った MMR 免疫染色の作業手順を確立した。

今回、胃底腺型腺癌の確定組織診断への応用として、MMR 免疫染色の有用性を実施した。検討された 2 症例は、HE 染色で胃底腺型腺癌と診断された 63 才と 64 才であった。内視鏡検査上、rasberry 状隆起性平滑な腫瘍で胃底腺型腺癌に定型的であった。組織診断上、胃腺窩・胃底腺共存型であったが、浸潤・脈管侵襲および免疫染色による増殖マーカー Ki67 と p53 いずれも陰性で、組織診断での悪性の判定が困難であった。MMR 免疫染色上、PMS6 が顕著な陰性であった (somatic な変異、写真 1,2)。従来、胃底腺型腺癌は分化型腺癌なので病理組織診断よりも内視鏡診断が有意として妥協的な病理組織診断をしてきたが、認定分子病理専門医としての診断根拠が

Two cases of fundic gland type adenocarcinoma of stomach with dMMR (defect of mismatch repair)

示せた。今後症例を積み重ね、胃底腺型腺癌診断のより分子病理学的な妥当性を追求してゆきたい。

Table. key words and abbreviation

ICI	immune checkpoint inhibitor	免疫チェック ポイント 阻害薬	がん細胞に対する自己免疫を再活性化 させ、腫瘍に対する免疫応答を高める 治療、 臨床検査：PDL1、
dMMR	defect of mismatch repair	ミスマッチ 修復欠損	DNA 二本鎖ペア塩基対合しない部位の 修復の欠損 遺伝性：Lynch synd.
		DNA 修復 関連蛋白質 (Biocare Medical, Funakoshi)	今回、胃癌における陽性分布： MLH1 (胃：粘膜上層) MSH2 (胃、粘膜上層) MSH6 (胃、粘膜上層) PMS2 (胃、粘膜全層)

Two cases of fundic gland type adenocarcinoma of stomach with dMMR (defect of mismatch repair)

HRD	homologous recombination repair defect	相同組換修復欠損	DNA 本鎖ペア対合部分の修復 HRR (BRCA1,2 の homologous recombination repair (HRP) HRR wild), HRR defect), 臨床検査：HRD score, 治療：PARPi (poly ADP-ribosome inhibitor (オラパリブ、ニラパリブ)
MSI	microsatellite instability	マイクロサテライト不安定性	マイクロサテライト (ゲノム上のマイクロサテライト (1–3 塩基の反復配列) の反復数の増大減少、 臨床検査：異常の程度 MSI-H>MSI-L>MSS (正常 stable), 治療：ICI
TMB	tumor mutation burden	腫瘍遺伝子変異量	遺伝子変異量/1Mb, 治療：ICI
		foveola	MUC5AC

Two cases of fundic gland type adenocarcinoma of stomach with dMMR (defect of mismatch repair)

rasberry-like fundic gland type adenocarcinoma of stomach	stomch 組織像と Mucin 免疫染 色	neck,	MU6, M-GGMC-1(HIK1083)
		pylorid	
		chief	pepsinogen I
		parietal	H <sup>+</sup> K <sup>+</sup> -ATPase, proton-P
		Goblet	MUC2<cdx2
		endocrine rcell (ECL)	synaptophysin

f

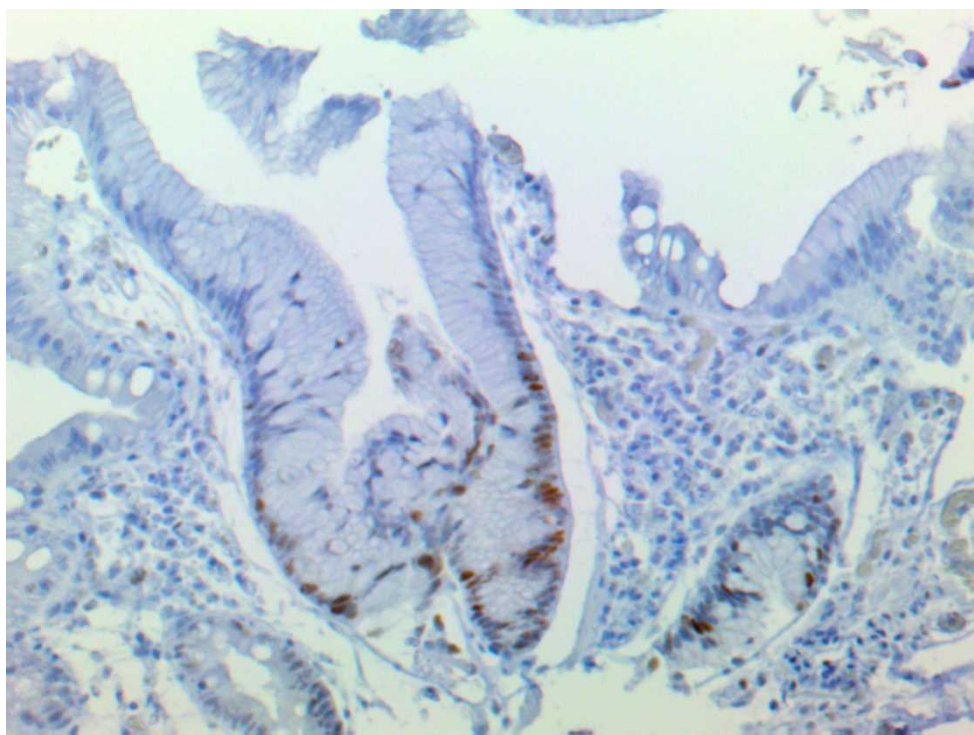


Fig. 1. Normal gastric mucosa, MMR MSH6, immunostain. Diffuse staining,

Two cases of fundic gland type adenocarcinoma of stomach with dMMR (defect of mismatch repair)

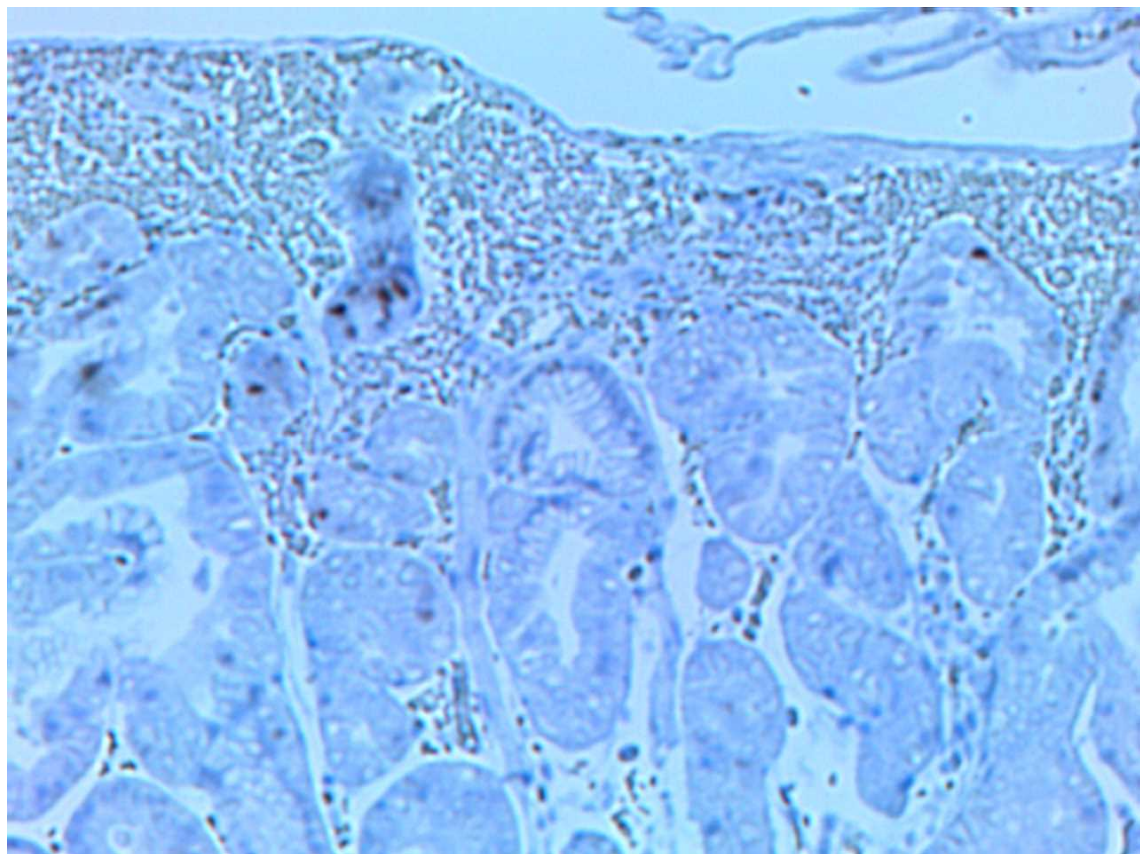


Fig. 2. Fundic gland type adenocarcinoma of stomach, MMR MSH6, immunostain.

Sparse staining.